

ПРОЦЕССЫ ЭНЕРГЕТИЧЕСКОГО ОБМЕНА В СИСТЕМАХ НЕИДЕНТИЧНЫХ ЧАСТИЦ С НЕОДНОРОДНЫМИ ТЕПЛОВЫМИ ИСТОЧНИКАМИ

*O. C. Ваулина**

*Объединенный институт высоких температур Российской академии наук
125412, Москва, Россия*

Поступила в редакцию 20 ноября 2016 г.

Рассматриваются процессы энергетического обмена в диссипативных системах неидентичных взаимодействующих частиц (т. е. частиц, имеющих различные размеры, заряды и т. д.) с неоднородным распределением источников тепла и/или любых других источников стохастической кинетической энергии. Предложена теоретическая модель для анализа энергетического баланса в таких системах. На основе этой модели получены аналитические соотношения, описывающие перераспределение «кинетической температуры» между взаимодействующими частицами системы. Предложенные соотношения проверены путем численного моделирования задачи для систем Юкавы.

DOI: 10.7868/S0044451017050182

1. ВВЕДЕНИЕ

Исследования физических свойств и процессов энергетического обмена в неоднородных системах взаимодействующих частиц вызывает значительный интерес в различных областях науки и техники (физике плазмы, биологии, физике полимеров и т. д.) [1–6]. Ряд актуальных вопросов касается особенностей физических характеристик в ансамблях неидентичных частиц, имеющих различный характер парного взаимодействия, заряды, размеры, диэлектрическую проницаемость и т. д. [1–8].

Пылевая плазма представляет собой ионизованный газ, содержащий заряженные частицы вещества микронных размеров (пыль, макрочастицы). Такая плазма широко распространена в природе и образуется в ряде технологических процессов [1–3]. Большинство теоретических и численных работ, посвященных исследованию свойств пылевой плазмы, имеют дело с идентичными макрочастицами, поскольку такие системы легче поддаются математическому описанию и более просты для понимания. Тем не менее плазменно-пылевые структуры, встречающиеся в природе и образующиеся в ходе технологических процессов, редко содержат идентич-

ные пылевые частицы (т. е. макрочастицы с равными массами, размерами и т. д.). Даже в случае лабораторных исследований пылевой плазмы используемые «эталонные» частицы могут иметь как заметную дисперсию по размерам, так и различную величину заряда в зависимости от их пространственного расположения, а их «кинетическая температура» (стохастическая кинетическая энергия) может существенно изменяться в пространстве [1, 2].

Большинство лабораторных исследований свойств пылевой плазмы проводится в газовых разрядах различных типов [9–13], где стохастическая кинетическая энергия макрочастиц (их «кинетическая температура») может достигать примерно 1–5 эВ, что значительно выше температуры окружающего их газа. Это явление называют «аномальным разогревом» пылевых частиц [1, 2]. Основные механизмы «аномального разогрева» пыли обычно связываются с различными временными и/или пространственными изменениями их зарядов, вызванными, например, случайной природой ионных и электронных токов, заряжающих пылевые частицы [14, 15], или стохастическим движением пыли в объеме пространственно-неоднородной плазмы [16–19]. Поскольку заряд пылевой частицы определяется локальными параметрами плазмы в ее окрестности, мощность источников подкачки энергии, а соответственно, и «кинетическая температура» частиц могут существенно изменяться в

* E-mail: Olga.vaulina@bk.ru

пространстве [1, 2]. Источниками неравномерного нагрева системы частиц также могут являться неоднородное распределение температуры окружающего газа, лазерное излучение, используемое для диагностики, протекание химических реакций и т. д.

Отсутствие простых теоретических моделей для описания энергетического баланса затрудняет анализ процессов передачи тепла в системах взаимодействующих частиц с неоднородным распределением тепловых источников или любых других источников их стохастической кинетической энергии. Большая часть работ, посвященных вопросам переноса тепла в таких системах, относится к численному моделированию протяженных структур в пренебрежении трением ($\nu \rightarrow 0$), вызванным столкновением заряженной компоненты с атомами/молекулами окружающего газа [20–23]; здесь ν — коэффициент трения макрочастицы за счет ее столкновений с нейтраплами окружающего газа. Таким образом, вопросы о перераспределении «кинетической температуры» между частицами диссипативных сред (таких, например, как пылевая плазма, или коллоидные растворы, где $\nu \neq 0$) при наличии источников энергии, дающих различный вклад в «разогрев» частиц, в настоящее время не имеют удовлетворительного решения.

В настоящей работе речь пойдет о механизме переноса тепла, возникающем за счет передачи стохастических колебаний отдельных частиц вблизи их равновесного положения, который невозможен в отсутствие взаимодействия между частицами системы. Особенности энергетического обмена в ансамблях неидентичных частиц (имеющих различные массы, размеры, заряды и коэффициенты трения) с неоднородным распределением тепловых источников подробно рассмотрены на примере двух взаимодействующих частиц для условий, близких к условиям лабораторных экспериментов в газоразрядной плазме. Анализ таких малоразмерных систем допускает простое аналитическое решение задачи, а также позволяет получить качественную картину особенностей энергетического обмена в протяженных системах.

2. ОСНОВНЫЕ СООТНОШЕНИЯ

Рассмотрим равновесную систему, состоящую из N_d взаимодействующих частиц массой M_i , где $i = 1, 2, \dots, N_d$. В предположении, что смещение ξ_i частиц от их положения равновесия под действи-

ем некоторой случайной силы F_{bi} ограничено малыми отклонениями, систему линеаризованных уравнений движения (уравнений Ланжевена) в выбранном направлении можно записать в общем виде для каждой из степеней свободы

$$M_i \frac{dV_i}{dt} = -M_i \nu_i V_i + \sum_{j=1}^N a_{ij} \xi_j + F_{bi}, \quad (1)$$

где F_{bi} — сила Ланжевена, являющаяся источником стохастической кинетической энергии частиц, $V_i = d\xi_i/dt$ — скорость i -й частицы, $N = mN_d$, m — число степеней свободы, а коэффициенты a_{ij} зависят от физики решаемой задачи. Корреляторы случайной силы F_{bi} подчиняются уравнениям

$$\langle F_{bi} \rangle = 0, \quad \langle F_{bi} \xi_i \rangle = 0,$$

а при $k \neq i$

$$\langle F_{bi} V_k \rangle \equiv 0, \quad \langle F_{bi} \xi_k \rangle = 0, \quad \langle F_{bi} F_{bk} \rangle = 0.$$

Здесь и далее угловые скобки обозначают усреднение по времени для $t \rightarrow \infty$.

К системам уравнений, подобным (1), сводятся различные классы физических проблем такие, например, как задача о формировании цепочекных и монослойных структур частиц с различными типами парного взаимодействия в электрическом поле ловушки [24–27], а также ряд задач об устойчивом положении макрочастиц с градиентами зарядов в пылевом облаке [16–18]. В общем виде условия устойчивости системы линейных дифференциальных уравнений (1) можно найти путем решения ее характеристического уравнения

$$f(\xi) = a_n \xi^n + a_{n-1} \xi^{n-1} + \dots + a_1 \xi + a_0,$$

где n определяется числом уравнений движения (т. е. числом N_d взаимодействующих частиц) и порядком этих уравнений [28]; так, например, в случае двух частиц для системы дифференциальных уравнений второго порядка (1) величина $n = 4$. Следует отметить, что если корни характеристического уравнения имеют положительную действительную часть, решение системы (1) является неустойчивым [28]. Однако в большинстве случаев такой подход не может привести к простым аналитическим соотношениям, а их поиск нуждается в численном решении задачи.

Соотношения для определения условий энергетического баланса в системе взаимодействующих частиц можно получить путем анализа корреляторов скоростей и смещений частиц в системе дифференциальных уравнений движения (1) [8, 19]. Учитывая корреляторы случайной силы F_{bi} (см. выше),

можно перейти к системе соответствующих линейных уравнений:

$$-M_i\nu_i\langle\xi_kV_i\rangle+\sum_{j=1}^Na_{ij}\langle\xi_k\xi_j\rangle+M_i\langle V_kV_i\rangle=0, \quad (2a)$$

$$M_i\left\langle V_k\frac{dV_i}{dt}\right\rangle=-M_i\nu_i\langle V_kV_i\rangle+\sum_{j=1}^Na_{ij}\langle V_k\xi_j\rangle+\langle V_kF_{bi}\rangle, \quad (2b)$$

где $k = 1-N$, $T_i = M\langle V_i^2 \rangle$ — кинетическая температура частицы на одну степень свободы в равновесной системе, $T_i = T_i + \delta T_i$, T_i — энергия внешних/внутренних источников системы для отдельной частицы, определяемая условиями в месте ее равновесного положения (например, температурой окружающего газа и/или флюктуациями заряда частиц), а δT_i — дополнительная энергия, которую приобретает или теряет отдельная частица при достижении энергетического баланса системы.

Для ансамбля идентичных частиц с попарным взаимодействием полная начальная кинетическая энергия системы сохраняется:

$$\sum_{j=1}^N\delta T_j=0, \quad \sum_{j=1}^NT_j=\sum_{j=1}^NT_j^0. \quad (3)$$

Принимая во внимание то, что при движении частиц по ограниченным траекториям $\langle\xi_iV_i\rangle=0$ и $\langle V_iF_{bi}\rangle=\nu_iT_i^0$ система (2a), (2b) имеет единственное решение для любого количества частиц и любых заданных параметрах частиц M_i , ν_i и a_{ij} вне зависимости от типа сил межчастичного взаимодействия и внешних полей, можно полностью описать картину перераспределения энергии в ансамбле взаимодействующих частиц.

Далее мы рассмотрим решение задачи для двух ($N_d = 2$) неидентичных частиц с зарядами $Q_{1(2)}$ в поле силы тяжести $M_{1(2)}g$, скомпенсированном электрическим полем $E(r, z)$ цилиндрической ловушки с радиальной составляющей $E_r = \beta_r r$ и вертикальной составляющей $E_z = E_z^0 + \beta_z z$, см. рис. 1. Здесь $M_{1(2)}$ — масса соответственно первой и второй частиц, $R \equiv (X^2 + Y^2)^{1/2}$ — радиальная координата, Z — вертикальная координата (по оси параллельной силе тяжести), β_r и β_z — величины градиентов электрического поля, а значение E_z^0 определяется балансом сил, действующих в системе.

Для количественных оценок в качестве потенциала взаимодействия будем использовать приближе-

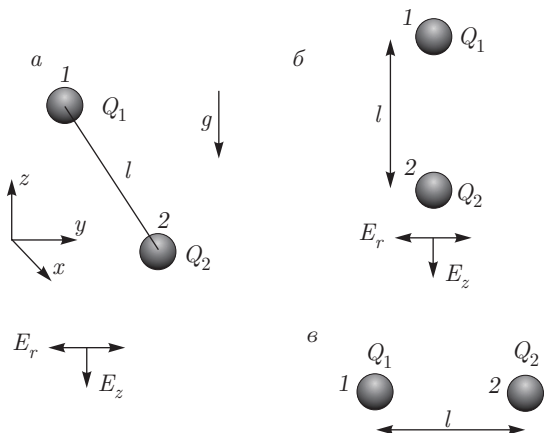


Рис. 1. Произвольная (a), вертикальная (б) и горизонтальная (в) конфигурации двух взаимодействующих частиц в электрическом поле ловушки $E = E(z, r)$ с цилиндрической симметрией

ние экранированного кулоновского потенциала (типа Юкавы)

$$\phi(r) = Q_1 Q_2 \exp(-l/\lambda)/l, \quad (4)$$

где λ — длина экранирования. Этот тип взаимодействия широко используется для моделирования свойств различных неидеальных систем, например, в физике полимеров, медицине, биологии и физике плазмы [1–9]. Отметим, что модель экранированного потенциала успешно применяется для интерпретации результатов ряда лабораторных экспериментов в пылевой плазме [1–3, 29, 30]. Кроме того, будем также полагать, что плотность материала, ρ , однаакова для обеих частиц, $\rho = \rho_2$, т. е. их масса $M_{1(2)} \propto \propto a_{1(2)}^3$, где $a_{1(2)}$ — радиус соответственно первой и второй частиц. Заряды частиц будем рассматривать согласно приближению ограниченных орбит (Orbit Motion Limited) $Q_{1(2)} \propto a_{1(2)}$ [1, 2], а их коэффициенты трения $\nu_{1(2)} = \nu_i \propto a_i^2/M_i$ в свободномолекулярном приближении [31].

3. СЛУЧАЙ ДВУХ ВЗАИМОДЕЙСТВУЮЩИХ ЧАСТИЦ В ПОЛЕ ЛОВУШКИ

Уравнения баланса сил в системе с произвольной конфигурацией двух частиц (рис. 1a), взаимодействующих с силой $F = F(l)$, позволяют получить следующие соотношения между ее параметрами:

$$gM_1 = Q_1E_z^0 + Fd_z/d, \quad gM_2 = Q_2E_z^0 + Q_2\beta_z d_z - Fd_z/d, \quad (5a)$$

$$Q_1\beta_r d_{r1} = Fd_r/d, \quad Q_2\beta_r d_{r2} = Fd_r/d, \quad (5b)$$

где $d = \langle l \rangle \equiv (d_z^2 + d_r)^{1/2}$ — среднее межчастичное расстояние, а $d_z = |Z_2 - Z_1|$ и $d_r = d_{r1} + d_{r2}$ — соответственно его вертикальная и радиальная компоненты; здесь d_{r1} и d_{r2} — величины отклонения от оси системы для первой и второй частицы, а $Z_{1(2)}$ — вертикальные координаты частиц.

Для задачи с произвольной конфигурацией двух частиц систему уравнений движения можно записать в виде

$$M_1 d^2 z_1 / dt^2 = -\nu_1 M_1 dz_1 / dt - Q_1 \beta_z z_1 + b_1(z_1 - z_2) + b_2(r_1 - r_2), \quad (6a)$$

$$M_2 d^2 z_2 / dt^2 = -\nu_2 M_2 dz_2 / dt - Q_2 \beta_z z_2 + b_1(z_2 - z_1) + b_2(r_2 - r_1), \quad (6b)$$

$$M_1 d^2 r_1 / dt^2 = -\nu_1 M_1 dr_1 / dt - Q_1 \beta_r r_1 + c_1(r_1 - r_2) + c_2(z_1 - z_2), \quad (6c)$$

$$M_2 d^2 r_2 / dt^2 = -\nu_2 M_2 dr_2 / dt - Q_2 \beta_r r_2 + c_1(r_2 - r_1) + c_2(z_2 - z_1), \quad (6d)$$

где z_1, z_2, r_1, r_2 — отклонение частицы 1 и частицы 2 от их равновесного положения, а $b_1 = \partial F_z / \partial z$, $b_2 = \partial F_z / \partial r$, $c_1 = \partial F_r / \partial z$, $c_2 = \partial F_r / \partial r$, а $F_{z(r)}$ — вертикальная (радиальная) составляющая силы $\mathbf{F} = (F_z; F_r)$ межчастичного взаимодействия.

Анализ устойчивости этой системы показывает, что произвольная конфигурация частиц (при $d_r \neq 0$, см. рис. 1a) возможна только в случае, когда $Q_2 M_1 < Q_1 M_2$ ($a_1 < a_2$). При этом для двух идентичных частиц ($M_1 = M_2 \equiv M$, $Q_1 = Q_2 \equiv Q$) такая конфигурация не реализуется вовсе. В этом случае возможны только вертикальная и горизонтальная конфигурации частиц, см. рис. 1б, в. Таким образом, для двух идентичных частиц, взаимодействующих с различными типами как попарных, так и непопарных потенциалов, устойчивость вертикальной конфигурации определяется соотношением $\beta_r > \beta_z$, в обратном случае ($\beta_r < \beta_z$) устойчивой является горизонтальная конфигурация частиц [24–27].

Для двух неидентичных частиц строго горизонтальная конфигурация не реализуется. Обратимся к случаю их вертикальной конфигурации (рис. 1б). В системе с вертикальной конфигурацией частиц величина $d_r = 0$, а значения коэффициентов в уравнениях (6a)–(6d) принимают вид

$$b_1 = \partial F / \partial l|_{l=d}, \quad c_1 = F/d, \quad b_2 = 0, \quad c_2 = 0.$$

В этом случае условия баланса сил (5а) дают

$$g(M_1 Q_2 - M_2 Q_1) + Q_1 Q_2 \beta_z d = (Q_1 + Q_2) F. \quad (7)$$

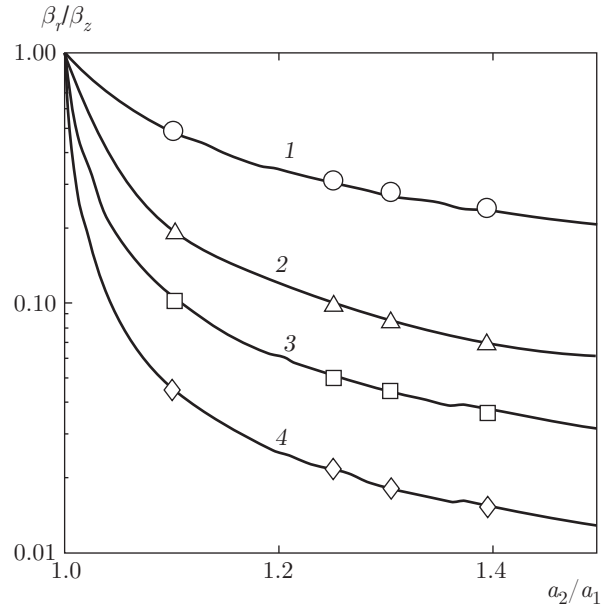


Рис. 2. Зависимость величины β_r/β_z от отношения a_2/a_1 для вертикальной конфигурации двух частиц на линиях устойчивости (8) для систем с параметрами: 1 — $a_2 = 3$ мкм, $d = 250$ мкм, $\kappa = 0$; 2 — $a_2 = 3$ мкм, $d = 500$ мкм, $\kappa = 0$; 3 — $a_2 = 6$ мкм, $d = 500$ мкм, $\kappa = 0$; 4 — $a_2 = 6$ мкм, $d = 500$ мкм, $\kappa = 2$. (Ниже представленных линий расположена область неустойчивости задачи.) Сплошные линии соответствуют аналитическим кривым.

Символы — результаты численного моделирования

Отметим, что для случая $M_1 = M_2 \equiv M$ при $Q_1 = Q_2 \equiv Q$ величина $Q\beta_z d = 2F$. При этом (для $\nu_1 > 0$ и $\nu_2 > 0$) условие формирования диссипативной неустойчивости системы можно записать в виде

$$Q_1 Q_2 \beta_r < (Q_1 + Q_2) F / d = Q_1 Q_2 \beta_z + g(M_1 Q_2 - M_2 Q_1) / d. \quad (8)$$

Для $M_1 = M_2 \equiv M$ и $Q_1 = Q_2 \equiv Q$ данное условие приобретает вид $\beta_r < \beta_z$ в соответствии с изложенным выше [24–27]. Иллюстрация условий развития неустойчивости (8) для различных параметров задачи a_1, a_2, d и $\kappa = d/\lambda$ показана на рис. 2. Расчеты проводились для частиц с плотностью материала $\rho = 1.5$ г/см³ в предположении $|eQ| \approx 3T_e a_{1(2)}$ при температуре электронов $T_e = 1$ эВ [1, 2].

Рассмотрим перераспределение энергии для вертикальной конфигурации частиц. Для корреляторов скоростей и смещений для одной степени свободы для этого случая имеем

$$a_{11}\langle\xi_1^2\rangle + \alpha\langle\xi_2\xi_1\rangle + T_1 = 0, \quad (9a)$$

$$a_{22}\langle\xi_2^2\rangle + \alpha\langle\xi_2\xi_1\rangle + T_2 = 0, \quad (9b)$$

$$-\nu_1 M_1 \langle\xi_2 V_1\rangle + a_{11} \langle\xi_2\xi_1\rangle + \alpha\langle\xi_2^2\rangle + M_1 \langle V_1 V_2\rangle = 0, \quad (9c)$$

$$-\nu_2 M_2 \langle\xi_1 V_2\rangle + a_{22} \langle\xi_2\xi_1\rangle + \alpha\langle\xi_1^2\rangle + M_2 \langle V_1 V_2\rangle = 0, \quad (9d)$$

$$\nu_1 M_1 \delta T_1 = \alpha M_1 \langle\xi_2 V_1\rangle, \quad \nu_2 M_2 \delta T_2 = \alpha M_2 \langle\xi_1 V_2\rangle, \quad (9e)$$

$$-\nu_1 M_1 \langle V_1 V_2\rangle - \nu_2 M_2 \langle V_1 V_2\rangle + a_{11} \langle\xi_1 V_2\rangle + \\ + a_{22} \langle\xi_2 V_1\rangle = 0. \quad (9f)$$

Здесь $T_1 = T_1^0 + \delta T_1$, $T_2 = T_2^0 + \delta T_2$, где T_1 , T_2 — температура частиц для равновесного состояния системы, T_1^0 , T_2^0 — энергия источников (которая при численном моделировании задачи соответствует их заданной/начальной температуре), а δT_1 , δT_2 — приращение температуры в процессе установления равновесия. Таким образом, в случае вертикальных смещений частиц от их положения равновесия

$$\xi_{1(2)} = z_{1(2)},$$

а величина

$$\alpha = b_1 \equiv \partial F / \partial l|_{l=d}, \quad a_{22} = -Q_2 \beta_z + b_1,$$

$$a_{11} = -Q_1 \beta_z + b_1;$$

для радиальных смещений

$$\xi_{1(2)} = r_{1(2)},$$

а величина

$$\alpha = c_1 \equiv F/d, \quad a_{22} = -Q_2 \beta_r + c_1, \quad a_{11} = -Q_1 \beta_r + c_1.$$

Обозначим $\Delta T = T_2^0 - T_1^0$, тогда

$$\delta T_1 = \alpha^2 \Delta T / C \nu_1, \quad (10a)$$

$$\delta T_2 = -\alpha^2 \Delta T / C \nu_2, \quad (10b)$$

где

$$C = \frac{(a_{22}M_1 - a_{11}M_2)^2}{\nu_1 M_1 M_2 + \nu_2 M_2 M_1} + \frac{\alpha^2(\nu_1 + \nu_2)}{\nu_1 \nu_2} - \\ - (a_{22}\nu_1 M_1 + a_{11}\nu_2 M_2). \quad (11)$$

Рассмотрим перераспределение энергии для системы из двух идентичных частиц. В этом случае решение системы уравнений (9) для вертикальной (а также для горизонтальной) конфигурации частиц можно записать в виде

$$\delta T_{1(2)} = \frac{\pm \alpha^2 \Delta T}{2 \{ \alpha^2 + \nu^2 M(\beta - \alpha) \}}, \quad (12)$$

где в случае анализа вертикальных смещений частиц от их положения равновесия $\beta = \beta_z$, а для радиальных смещений $\beta = \beta_r$. Таким образом, $\delta T_1 = -\delta T_2$, а при $\alpha^2 \gg \nu^2 M / (\beta - \alpha)$ величина $|\delta T_{1(2)}| \rightarrow |\Delta T|/2$, т. е. энергия равномерно распределяется между частицами системы, в обратном случае при $\nu \rightarrow \infty$ величина $|\delta T_{1(2)}| \rightarrow 0$.

Иллюстрация перераспределения энергии для вертикальной конфигурации частиц, взаимодействующих с потенциалами Юкавы, представлена на рис. 3 для $a_2 = 3$ мкм, $|eQ| \approx 3T_e a_{1(2)}$ ($T_e = 1$ эВ) и $\beta_r = 1.1\beta_z$ при различных параметрах системы (a_1 , a_2 , d , $\kappa = d/\lambda$) в зависимости от параметра масштабирования ν_2/ω , где $\omega = \alpha^{1/2}$.

4. РЕЗУЛЬТАТЫ ЧИСЛЕННОГО МОДЕЛИРОВАНИЯ

Численное исследование процессов энергетического обмена выполнялось методом молекулярной динамики Ланжевена для двух частиц, взаимодействующих с потенциалом Юкавы при $\kappa = 0\text{--}4$, в электрическом поле ловушки с цилиндрической симметрией. Техника моделирования подробно описана в работах [1, 2].

Кинетическая энергия частиц (характеризующая тепловые источники в месте их равновесного положения) задавалась равной по степеням свободы: $T_z^0 = T_x^0 = T_y^0$, но различной для разных частиц $\Delta T_{ik} = T_i^0 - T_k^0 \neq 0$ (при $i \neq k$). Величина минимальной энергии источников T_{min}^0 для отдельной частицы варьировалась примерно от 0.025 эВ до 0.2 эВ, а ее максимальная величина достигала примерно $10T_{min}^0$. Значение параметра масштабирования ν_2/ω варьировалось в диапазоне примерно от 0.1 до 2, типичном для условий лабораторных экспериментов в газоразрядной плазме [1–3]. Отношение величин градиентов внешнего электрического поля β_r/β_z изменялось от 0.5 до 3. В соответствии с теорией [24–27] для случая двух идентичных частиц при $\beta_r > \beta_z$ наблюдалась их вертикальная конфигурация (рис. 1б), в обратном случае ($\beta_r < \beta_z$) устойчивой являлась горизонтальная конфигурация частиц (рис. 1в). Для систем неидентичных взаимодействующих частиц с радиусами $a_2 > a_1$ ($Q_1 M_2 > Q_2 M_1$) условия устойчивости соответствовали критерию (8). Сравнение аналитических результатов с данными численного моделирования задачи для различных параметров системы представлено на рис. 2.

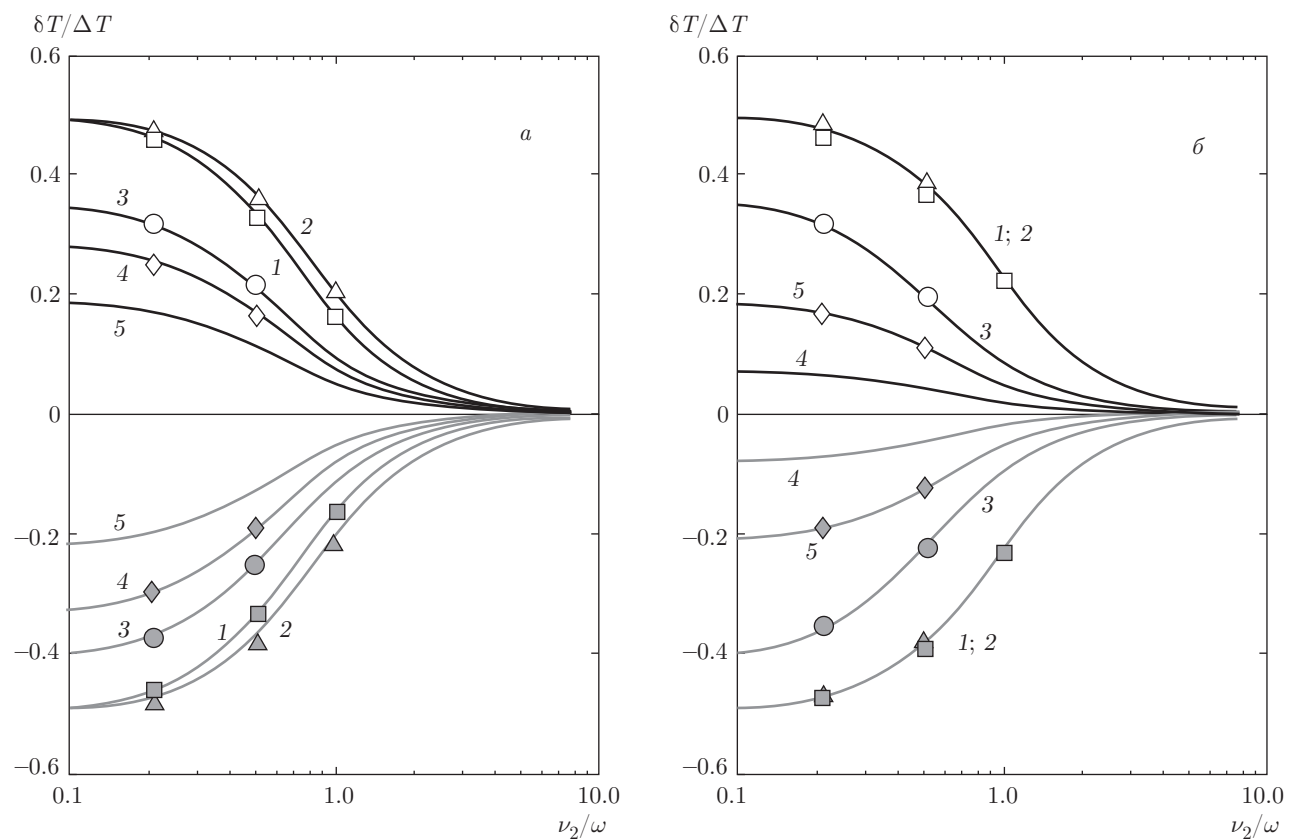


Рис. 3. Зависимости значений $\delta T_1/\Delta T$ (черные линии) и $\delta T_2/\Delta T$ (серые линии) от ν_2/ω , описывающие перераспределение энергии в вертикальном (а) и радиальном (б) направлениях для вертикальной конфигурации двух частиц с параметрами: 1 — $a_1 = a_2$, $d = 500$ мкм, $\kappa = 0$; 2 — $a_1 = a_2$, $d = 500$ мкм, $\kappa = 4$; 3 — $a_2 = 1.15a_1$, $d = 250$ мкм, $\kappa = 0$; 4 — $a_2 = 1.15a_1$, $d = 250$ мкм, $\kappa = 3$; 5 — $a_2 = 1.15a_1$, $d = 500$ мкм, $\kappa = 0$. Сплошные линии соответствуют аналитическим кривым. Символы — результаты численного моделирования

В процессе моделирования начальная кинетическая энергия (энергия источников) перераспределялась от более «горячих» частиц, имеющих более мощные источники тепла, к менее «горячим». Во всех случаях наблюдаемые распределения скоростей частиц были близки к максвелловской функции с неравномерным распределением энергий по степеням свободы $T_z \neq T_x = T_y$. Величина перераспределяемой энергии δT была пропорциональна отклонению между заданными энергиями ΔT («кинетическими температурами») частиц.

Результаты отдельных численных исследований представлены на рис. 3 a, b совместно с аналитическими решениями задачи. Легко заметить хорошее согласие данных моделирования с предлагаемыми аналитическими соотношениями. Отклонения между теоретическими и численными данными составляли не более 3–5 %.

5. ЗАКЛЮЧЕНИЕ

В заключение еще раз подчеркнем, что в настоящей работе рассматриваются процессы энергетического обмена в диссипативных системах неидентичных взаимодействующих частиц (т. е. частиц, имеющих различные размеры, заряды и т. д.) с неоднородным распределением источников тепла и/или любых других источников стохастической кинетической энергии. Предложена теоретическая модель для анализа энергетического баланса в таких системах, основанная на вычислении корреляторов скоростей и смещений частиц в поле действия случайных сил. Представлена система уравнений, решение которой позволяет полностью описать картину перераспределения энергии в ансамбле взаимодействующих частиц. На основе предложенной модели получены аналитические соотношения, описывающие перераспределение «кинетической температу-

ры» между двумя взаимодействующими частицами. Полученные соотношения проверены путем численного моделирования задачи для систем Юкавы.

Результаты настоящей работы применимы для систем с любым типом попарных взаимодействий и могут быть полезны для качественного анализа энергетического обмена в протяженных системах частиц, которые представляют интерес в физике плазмы, медицине, биологии, физике полимеров и коллоидных систем.

Работа выполнена при частичной финансовой поддержке РФФИ (гранты №№ 16-08-00594, 15-32-21159), а также в рамках Программы Президиума РАН.

ЛИТЕРАТУРА

1. О. С. Ваулина, О. Ф. Петров, В. Е. Фортов, А. Г. Храпак, С. А. Храпак, *Пылевая плазма (эксперимент и теория)*, Физматлит, Москва (2009).
2. *Complex and Dusty Plasmas*, ed. by V. E. Fortov and G. E. Morfill, CRC Press (2010).
3. A. Ivlev, G. Morfill, H. Lowen, and C. P. Royall, *Complex Plasmas and Colloidal Dispersions: Particle-Resolved Studies of Classical Liquids and Solids*, World Scientific, Singapore (2012).
4. *Photon Correlation and Light Beating Spectroscopy*, ed. by H. Z. Cummins and E. R. Pike, Plenum, New York (1974).
5. B. Pullman, *Intermolecular Interactions: From Diatomics to Biopolymers*, Wiley Interscience, Chichester (1978).
6. А. А. Овчинников, С. Ф. Тимашев, А. А. Белый, *Кинетика диффузионно-контролируемых химических процессов*, Химия, Москва (1986).
7. А. В. Филиппов, И. Н. Дербенев, ЖЭТФ **150**, 1262 (2016).
8. О. С. Ваулина, ЖЭТФ **149**, 218 (2016).
9. Ю. В. Герасимов, А. П. Нефедов, В. А. Синельщиков, В. Е. Фортов, Письма в ЖТФ **24**, 62 (1998).
10. V. E. Fortov, E. A. Nefedov, V. A. Sinel'shchikov, A. D. Usachev, and A. V. Zobnin, Phys. Lett. A **267**, 179 (2000).
11. *Advances in Dusty Plasma*, ed. by P. K. Shukla, D. A. Mendis, and T. Desai, Word Scientific Publishing Co, Singapore (1997), pp. 99–142, 153–162.
12. O. S. Vaulina, E. V. Vasilieva, O. F. Petrov, and V. E. Fortov, Physica Scripta **84**, 025503 (2011).
13. A. Aschinger and J. Winter, New J. Phys. **14**, 093036 (2012).
14. O. S. Vaulina, S. A. Khrapak, O. F. Petrov, and A. P. Nefedov, Phys. Rev. E **60**, 5959 (1999).
15. R. A. Quinn and J. Goree, Phys. Rev. E **61**, 3033 (2000).
16. О. С. Ваулина, А. П. Нефедов, О. Ф. Петров, В. Е. Фортов, ЖЭТФ **118**, 1319 (2000).
17. В. Е. Фортов, О. С. Ваулина, О. Ф. Петров и др., ЖЭТФ **124**, 798 (2003).
18. О. С. Ваулина, А. А. Самарян, О. Ф. Петров, Б. Джеймс, Ф. Меландсо, Физика плазмы **30**, 698 (2004).
19. O. S. Vaulina, Europhys. Lett. **115**, 10007 (2016).
20. N. H. March and M. P. Tosi, *Introduction to Liquid State Physics*, World Scientific, London (1995).
21. Z. Donko and P. Hartmann, Phys. Rev. E **69**, 01640 (2004).
22. G. Faussurier and M. S. Murillo, Phys. Rev. E **67**, 04640 (2003).
23. A. Shahzad and M.-G. He, Contrib. Plasma Phys. **52**, 667 (2012).
24. О. С. Ваулина, К. Г. Адамович, И. Е. Дранжевский, Физика плазмы **31**, 562 (2005).
25. O. S. Vaulina, X. G. Adamovich, and S. V. Vladimirov, Phys. Scr. **79**, 035501 (2009).
26. О. С. Ваулина, И. И. Лисина, К. Г. Косс, Физика плазмы **39**, 455 (2013).
27. I. I. Lisina and O. S. Vaulina, Europhys. Lett. **103**, 55002 (2013).
28. И. Н. Бронштейн, К. А. Семенджев, *Справочник по математике для инженеров и учащихся втузов*, Наука, Москва (1986).
29. O. S. Vaulina, O. F. Petrov, A. V. Gavrikov, X. G. Adamovich, and V. E. Fortov, Phys. Lett. A **372**, 1096 (2008).
30. O. S. Vaulina, E. A. Lisin, A. V. Gavrikov, O. F. Petrov, and V. E. Fortov, Phys. Rev. Lett. **103**, 035003 (2009).
31. Е. М. Лицшиц, Л. П. Питаевский, *Физическая кинетика*, Наука, Москва (1979).